

# استخدام نماذج تحليل التدخل في سلسلة إنتاج النفط الخام في العراق

أ.م.د. بثينة عبد الجادر عبد العزيز\*  
فاطمة عبد الرحمن الركابي\*\*

## المسخلص

يعد التنبؤ من الأهداف الرئيسية لتحليل السلسلة الزمنية باستعمال النموذج المشخص تماما لتمثيل بيانات تلك السلسلة ، ولكن غالبا ما تتأثر السلسلة الزمنية بإحداث خارجية (اعتراضية) مثل العطل ، الإضرابات ، والتشريعات والسياسات المتخذة من قبل الدول ، الحروب والحصار الاقتصادي وهذه الأحداث تسمى بالتدخلات والتي تحصل في مختلف القطاعات الحيوية فتتأثر بها قيم السلسلة عندئذ يحصل تغير كبير في قيمتها فإما تزايد أو تناقص في المدة الزمنية لهذه الأحداث وبالتالي تكون عملية تشخيص أنموذج السلسلة الزمنية لهذا المتغير صعبة ، لذا ينبغي البحث عن أسلوب آخر لتحليل بيانات تلك السلسلة والذي يسمى بتحليل التدخل الذي يعد أداة جيدة لبيان تأثير هذه الأحداث على السلسلة . ويظهر البحث جانبان الأول يمثل الأسس النظرية لموضوع تحليل التدخل ومراحل بناء أنموذج التدخل لحالة السلسلة الزمنية التي تتعرض لعدة أحداث خارجية . أما الثاني فيتمثل بالجانب التطبيقي إذ تم التطبيق لبيانات واقعية المتمثلة بإنتاج النفط الخام من الفترة 1969/1-2004/1 باستعمال أنموذج التدخل المتعدد لدراسة تأثير كل من الحرب العراقية - الإيرانية ، دخول العراق الأراضي الكويتية والحصار الاقتصادي الذي فرض على العراق والاحتلال الأمريكي له . وقد أشارت النتائج المستخرجة إن لهذه الأحداث تأثيرات معنوية .

## Abstract

*Prediction is regarded as one of the main goals of time series analysis using the model diagnosed completely to represent data that series, but the time series is often influenced by external events (extraordinary), such as holidays, strikes, legislations and policies taken by States, and war and economic blockade . These events are called interventions, which occur in various vital sectors, where the values of the series are influenced by them, and then a big change gets in the value of either growing up or decreases in the time period of these events, and thus the diagnosis of the time series model for this variable is difficult, So it has to find another method for the analysis of these series data, which is called intervention analysis, which is a good tool to demonstrate the impact of these events on the series . The research showed two sides , the first represents the theoretical foundations of the subject of intervention analysis and stages of building a model of intervention for time series that is exposed to a single event or several external events , the second is the practical side, where a factual data has been used in the case of multi –events namely crude oil production in iraq*

\* الجامعة المستنصرية / كلية الادارة والاقتصاد .

\*\* باحثة .

مقبول للنشر بتاريخ 2014/11/5

مستل من رسالة ماجستير

from the period 2004/I-1969/I by using multi-intervention model to study the effect of each of the Iraq - Iran war, Iraq's entry into Kuwait, the economic blockade (embargo) on our country and American occupation to it. The results showed that these events have significant effects.

## المقدمة

تعد عملية التخطيط من أهم العمليات التي تؤدي إلى تطور البلدان. والتخطيط يكون على أحسن وجه إذا اعتمدت فيه الأساليب الإحصائية التي تؤدي إلى تخطيط قائم على أسس علمية متينة. ومن أبرز الأساليب الإحصائية هي تحليل السلاسل الزمنية التي تعد واحدة من الموضوعات المهمة والمستخدمه في تفسير سلوك الظواهر عن طريق دراسة تطورها التاريخي عبر مدة زمنية قد تكون يومية أو أسبوعية أو شهرية أو فصلية.... الخ. فضلا عن ذلك إن تحليل السلاسل الزمنية أصبح له دوراً مهماً في عملية اتخاذ القرارات في المجالات التطبيقية. والغاية الأساسية من تحليل السلاسل الزمنية يتمثل بالحصول على نموذج يمكن استخدامه لوصف الظاهرة وبالنتيجة التنبؤ بمستقبل الظاهرة المدروسة.

وعندما تتعرض السلسلة الزمنية إلى أحداث خارجية تؤثر على السلسلة أما أن تؤدي إلى ارتفاعها أو انخفاضها فتؤثر على سلوكية السلسلة الزمنية وهذه الأحداث تسمى (التدخلات)، التي تحصل في مختلف القطاعات الاقتصادية والحيوية مثل العطل والاضرابات والحروب والحصار الاقتصادي، وبالتالي تكون عملية تشخيص نموذج السلسلة الزمنية لهذا المتغير صعبة، لذا ينبغي البحث عن أسلوب جديد لتحليل تلك السلسلة المتعرضة للتدخل وهذا الأسلوب يدعى تحليل التدخل للسلاسل الزمنية **Intervention Analysis**. إذ يتم بناء نموذج للسلسلة الزمنية يسمى نموذج التدخل للمتغير الواحد في حالة تعرضه إلى عدة تدخلات.

## هدف البحث

يهدف البحث الى تحليل السلسلة الزمنية التي تتعرض للأحداث الخارجية ومن ثم التنبؤ بالقيم المستقبلية للسلسلة الزمنية باستخدام نموذج التدخل **Intervention Model** الذي سيتم بناءه في حالة تعرض السلسلة الزمنية لعدة أحداث.

## الجانب النظري

التدخل هو ذلك الحدث الخارجي (**external event**) الذي يؤثر على السلسلة الزمنية إذ يقوم بالتغيير المفاجئ أو التغيير التدريجي الذي يحصل بعد فترة زمنية معينة من وقوعه في مستوى متوسط السلسلة ويؤدي إلى انحراف السلسلة الزمنية إلى الأعلى. أو إلى الأسفل فمثلا الإعلانات التجارية المستخدمة لترويج مبيعات سلعة معينة تؤدي إلى زيادة حجم مبيعات تلك السلسلة او عند تشريع القوانين الجديدة كقانون لبس الأحزمة في المركبات وفرض غرامة مالية على غير الملتزمين به يقلل من عدد الإصابات المميتة عند المرور على الطرق الخارجية. وبشكل عام إن هذا الحدث الخارجي (التدخل) يقع عند نقطة معلومة في الزمن T وفترة بقاءه معلومة وذلك من خلال التحري عنه وملاحظة التغيرات المتوقعة على السلسلة الزمنية إذ يساعد الفحص المباشر للبيانات عند رسمها مع الزمن على تحديد وقت ذلك الحدث واستمراره. وإن وجود التدخلات الخارجية في السلسلة الزمنية قد يؤثر في مسألة تشخيص نموذج السلسلة وتقدير معالمته وحساب التنبؤات المستقبلية.

وتوجد ثلاثة أنواع من متغيرات التدخل أو سلسلة الإدخال إذ تمت تسميتها من قبل الباحثين (**Box&Tiao**) في بحثهما<sup>(4)</sup> والتي نجدها مهمة لتمثيل تأثير الأحداث الخارجية وهي متغيرات مؤشرة (**Indicator Variable**) وهمية، إذ أن هذه المتغيرات تأخذ القيمة 1 عند وقوع الحدث واستمراره وصفر للأوقات الأخرى، وهذه الأنواع هي تدخل الحافز، والتدخل المستمر، والتدخل المنحدر.

## نمذجة تأثير التدخل

لغرض معرفة تأثير وطبيعة التغيير على مسار السلسلة الزمنية ينبغي نمذجة تأثير التدخل أو ما يسمى بالمركبة الديناميكية (**Dynamic Component**) للتعرف على مقدار التغيرات الايجابية أو السلبية الحاصلة في السلسلة الزمنية. وفي عام 1975 استطاع الباحثان **Box and Tiao**<sup>(4)</sup> وضع نموذج للسلسلة الزمنية التي تتأثر بالأحداث الخارجية والذي يكتب بالشكل الآتي:

$$Z_t = Y_t + N_t \dots\dots\dots 1$$

إذ أن  $Z_t$  يمثل متغير الاستجابة و  $Y_t$  يمثل المركبة الديناميكية أما  $N_t$  فتمثل مركبة التذبذب ويعبر عن المركبة الديناميكية التي تصف تأثير التدخل بالنموذج الآتي:-

$$Y_t = \frac{\omega(B) B^b}{\delta(B)} \xi_t \dots \dots \dots 2$$

إذ أن  $\omega(B)$  و  $\delta(B)$  متعددتا الحدود في  $B$  ومن الدرجة  $S$  و  $r$  على التتابع

$$\omega(B) = \omega_0 + \omega_1 B + \omega_2 B^2 + \dots \dots \dots + \omega_S B^S \dots \dots \dots 3$$

$$\delta(B) = 1 - \delta_1 B - \delta_2 B^2 - \dots \dots \dots - \delta_r B^r \dots \dots \dots 4$$

$b$ : تمثل الفترة (معلمة التأخير أو الإبطاء) لتأثير التدخل على السلسلة فعندما قيمة  $b = 0$  صفر فإن تأثير التدخل يكون عند فترة وقوعه أما إذا كانت قيمة  $b$  لا تساوي صفرًا فإن تأثير التدخل يكون بعد مدة زمنية مقدارها  $b$  من وقوع الحدث . وان الأوزان  $\omega_j$  تمثل التأثيرات الابتدائية المتوقعة ( Initial effects) وان جذور المعادلة  $\delta(B) = 0$  يجب ان تقع على او خارج دائرة الوحدة إذ يمثل جذر وحدة التأثير الذي يزداد خطياً.

$\xi_t$ : متغير التدخل يمكن ان يمثل بدالة الخطوة او دالة النبضة حسب نوع التدخل. ومن الممكن تصنيف الشكل العام لتأثير الحدث المفترض إلى (1):

### 1- بداية مفاجئة واثر دائم للتدخل أو (مفاجئ دائم) Abrupt Permanent

هو ابسط أنواع نماذج التدخل وهو الأنموذج الذي يكون فيه أثر التدخل ثابتاً ولكن قيمته مجهولة وان هذا التأثير يبدأ عند فترة زمنية معينة لذا يمكن كتابته بالشكل الآتي (1):

$$Y_t = \omega_0 \xi_t = \omega_0 S_t^{(T)} \dots \dots \dots 5$$

إذ  $Y_t$ : تمثل الاستجابة  $\omega_0$ : معلمة مجهولة القيمة و  $S_t^{(T)} = \xi_t$  متغير مؤشر يمثل كالآتي:-

$$\xi_t = \begin{cases} 0 & \text{قبل حدوث التدخل} \\ 1 & \text{عند الحدث واستمراره} \end{cases}$$

### 2- بداية متدرجة واثر دائم للتدخل (متدرج دائم) Gradual Permanent

قد لا نتوقع أن يظهر الأثر الكامل لمتغير الخطوة  $S_t^{(T)}$  في الحال. لكنه يظهر بالتدريج وفي هذه الحالة يمكن صياغة الأنموذج بالشكل الآتي (1):

$$Y_t = \frac{\omega_0}{(1-\delta B)} S_t^{(T)} \dots \dots \dots 6$$

### 3- بداية مفاجئة واثر مؤقت للتدخل (مفاجئ مؤقت) (1) Abrupt Temporary

قد يكون من الطبيعي في مواقف أن نفكر في أثر التدخل بدلالة متغير النبضة  $\rho_t^{(T)}$  فعند قياس التأثير الذي يظهر فقط عند نقطة حدوث التدخل ويبقى تأثيره لفترة واحدة فقط . ويمكن صياغة ذلك بـ :

$$Y_t = \omega_0 \rho_t^{(T)} \dots \dots \dots 7$$

إذ يعرف متغير النبضة بالشكل الآتي:-

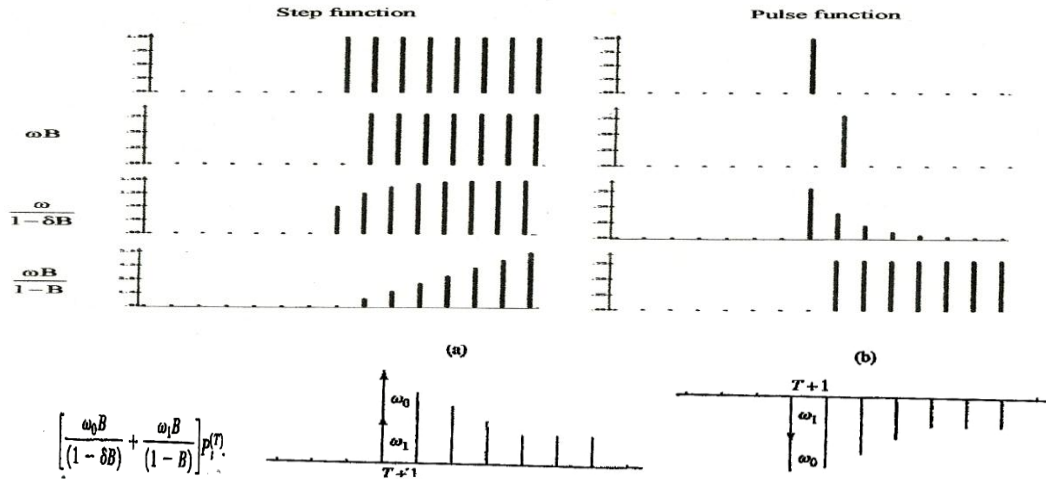
$$\rho_t^{(T)} = \begin{cases} 0 & \text{قبل حدوث التدخل} \\ 1 & \text{عند الحدث} \end{cases}$$

### 4- بداية متدرجة واثر مؤقت للتدخل (متدرج مؤقت) (1) Gradual Temporary

يمكن تمثيل الموقف الذي فيه يتزايد تأثير التدخل تدريجياً حتى يصل إلى أعلى قيمة له قبل أن يبدأ في الاختفاء تدريجياً، وبالطبع لا يمكن وضع أنموذج لهذا الموقف باستخدام دالة تحويل منخفضة الرتبة وتطبيقها على أنموذج ذي المتغير سلمي (الخطوة) أو متغير النبضة ويمكن تمثيل هذا الموقف باستخدام الأنموذج الآتي :

$$Y_t = \frac{\omega_0}{(1-\delta_1 B - \delta_2 B^2)} \rho_t^{(T)} \dots \dots \dots 8$$

ويمكن تمثيل التصانيف الاربع السابقة بالشكل الاتي :



الشكل (1)  
يمثل متغيري التدخل (الخطوة والنبضة) والأنموذج لكل متغير (1)

### تأثير التدخل على مستوى المتوسط Effect Intervention on Level Mean

كما أشير في البداية أن احد الأهداف الرئيسية لتحليل التدخل هو كشف التغير في مستوى متوسط السلسلة الزمنية عند وجود تدخل واحد أو أكثر . لأن التأثيرات للتدخل على الناتج ( $Z_t$  out put) تعكس الأهمية القصوى للمعالم في دالة التحويل. يمكن توقع أن التغير في مستوى المتوسط يتم باتخاذ الإجراءات التالية (5) :

أولاً: نحدد كل من القيمة المتوقعة لـ  $Z_t$  قبل التدخل  $E[Z_t \text{ before}]$  والقيمة المتوقعة لـ  $Z_t$  بعد التدخل  $E[Z_t \text{ after}]$  ثانياً: التغير في المتوسط الذي يحسب بالشكل الاتي :

$$\text{Change} = E[Z_t \text{ after}] - E[Z_t \text{ before}] \quad \dots 9$$

وان النسبة المئوية للتغير نسبة الى القيمة المتوقعة قبل التدخل هي :

$$\% \text{Change} = \frac{E[Z_t \text{ after}] - E[Z_t \text{ before}]}{E[Z_t \text{ before}]} * 100\% \quad \dots 10$$

وهو يمثل مقدار التغير % (الزيادة او النقصان) الذي يطرأ على السلسلة بعد تعرضها للحدث الخارجي. العلاقة بين أنموذج دالة التحويل وأنموذج التدخل (11) و (8)

أن أنموذج دالة التحويل Transfer function model الذي يستخدم لتمثيل العلاقة الديناميكية بين سلسلة الإدخال ( المدخلات)  $X_t$  Input والناتج ( المخرج)  $Z_t$  Output هو

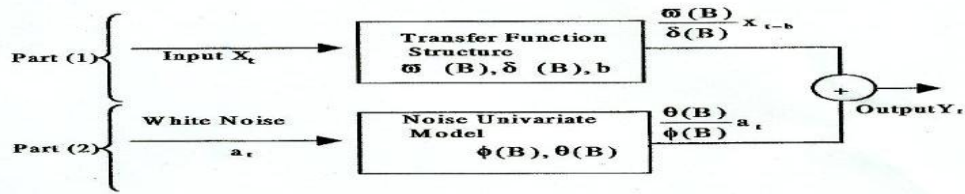
$$Z_t = \frac{\omega(B)}{\delta(B)} X_{t-b} + N_t \quad \dots 11$$

$N_t$  : تمثل مركبة التذبذب Noise

$\omega(B)$  ,  $\delta(B)$  معرفة مسبقا ان هذا الانموذج من الدرجة ( b , r , s ) في حين أنموذج التدخل Intervention Model يكتب بالشكل الآتي :

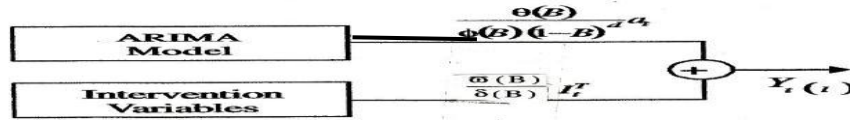
$$Z_t = \frac{\omega(B)}{\delta(B)} I_t^T + N_t \quad \dots 12$$

أذ ان  $I_t^T = \xi_t$  يمثل متغير التدخل بدالة الخطوة او دالة النبضة



الشكل (2)  
يمثل نموذج دالة التحويل (7)

عند مقارنة نموذج دالة التحويل مع نموذج التدخل نجد إن نموذج التدخل هو حالة خاصة من نموذج دالة التحويل إذ إن  $X_{t-b}$  يأخذ بيانات (1) عندما يحدث التدخل واستمراره وصفر في حالة عدم الحدوث).



الشكل (3)  
يمثل نموذج التدخل (7)

ولكن بالتأكيد هناك اختلافاً كبيراً واضحاً في مراحل بناء كل نموذج فعندما يراد بناء نموذج دالة التحويل يتم أولاً تشخيص النموذج المركبة الديناميكية  $\frac{\omega(B)}{\delta(B)} B^b X_{t-b}$  بالاعتماد على دالة الارتباط المتقاطع Cross Correlation Function وبعدها تشخيص مركبة التذبذب  $N_t$ . أما في نموذج التدخل فإنه يتم تشخيص نموذج مركبة التذبذب  $N_t$  أولاً وبعدها يشخص نموذج المركبة الديناميكية.

### أنموذج التدخل Intervention Model

عندما يقع تدخل واحد أو أكثر على السلسلة الزمنية  $Z_t$  فإن المحللين يسعون إلى تصميم أنموذج تدخل وذلك لوصف التغيرات التي تحصل للسلسلة الزمنية فمثلاً عند تطبيق إجراءات حكومية لتقليل مستويات تلوث الهواء فإن أنموذج التدخل يمكن أن يضع من أجل التحقق (التأكد) كيف يمكن لهذا الأجراء أن يكون فاعلاً من أجل تقليل مستوى التلوث كذلك لمعرفة أن مستويات الفسفور في نهر ما قد تناقصت بفعل معالجة المياه وغير ذلك من الإجراءات وعليه فإن كل سلسلة زمنية قد وقع عليها تدخل يمكن تقدير اثر التدخل باستخدام تحليل التدخل (5). إن وصف الأنموذج للسلسلة الزمنية  $Z_t$  التي تعرضت إلى تدخل معروف يمكن وصفها بالصيغة الآتية :

$$Z_t - \mu_z = f(q, t, I) + N_t \dots \dots \dots 13.$$

اذ ان:

$f(q, t, I)$  : تمثل المركبة الديناميكية التي تضم مجموعة من المعالم عددها  $q$  الموجودة في دالة التحويل ومتغير التدخل  $I_t$  الذي ربما يعبر عنه بدالة الخطوة أو دالة النبضة .  
وعندما تتعرض السلسلة الزمنية إلى أكثر من تدخل واحد وليكن  $k$  من التدخلات . فإن أنموذج التدخل الذي يمثل هذه السلسلة الزمنية والذي وضعه Box وTiao عام 1975 (4) هو

$$Z_t = \sum_{i=1}^k \frac{\omega_{si}(B)b^i}{\delta_{ri}(B)} I_{i,t} + \frac{\theta_q(B)}{\phi_p(B)(1-B)^d} a_t \dots \dots 14$$

باعتبار ان  $N_t$  قد تم تمثيلها بانموذج ARIMA(p,d,q) ان هذه المعادلة توضح تأثير (k) من التدخلات التي تعرضت لها السلسلة الزمنية ويسمى هذا الانموذج بانموذج متعدد التدخلات ( Multi Input Intervention Model )

### مراحل بناء نموذج التدخل الذي يحوي على K من التدخلات

أن مراحل بناء نموذج للسلسلة الزمنية التي تعرضت إلى أكثر من تدخل واحد هي تشخيص الانموذج - تقدير المعلمات - تدقيق تشخيص الانموذج والتي تأتي بعد مرحلة الكشف والتحري عن التدخلات التي تعرضت لها السلسلة الزمنية ويتم ذلك من خلال رسم السلسلة الزمنية إذ يتم التعرف على التدخلات من خلال التغيرات التي ترافق السلسلة بشكل مفاجئ أو بشكل تدريجي وهل هي تغيرات وقتية أو تغيرات مستمرة (9) و(10).

وكما بينا سابقا أن أنموذج التدخل يتألف من مركبتين هما مركبة التذبذب ومركبة تأثير التدخل إذ يمكن تشخيص الأنموذج الديناميكي لكل تدخل باستخدام مخطط البواقي لتحديد درجة (r,s,b) المستخدمة عام (2010) من قبل الباحث Muhammad Hisyam وآخرون (9). إذ افترضوا أن السلسلة الزمنية التي تعرضت إلى k من التدخلات عند الأوقات  $T_1, \dots, T_k$  يمكن تحليلها كالآتي:

#### الاجراء الأول : Procedure 1

تقسم السلسلة الزمنية إلى  $1+k$  من الأجزاء (parts) :

##### الجزء الأول: Part 1

يمثل بيانات السلسلة الزمنية قبل وقوع التدخل الأول بحجم  $n_0$  للفترة الزمنية  $t = 1, 2, \dots, T-1$  ويرمز له بالرمز  $Z_0$  والمعرف سابقا  $N_t$ .

##### الجزء الثاني : Part 2

يمثل بيانات السلسلة الزمنية من وقت وقوع التدخل الأول حتى قبل وقوع التدخل الثاني بحجم  $n_1$  للفترة الزمنية  $t = T_1, T_{1+1}, \dots, T_{2-1}$  ويرمز له بالرمز  $Z_1$ .

##### الجزء (k+1): Part (k+1)

يمثل بيانات السلسلة الزمنية من وقت وقوع التدخل k حتى نهاية البيانات بحجم  $n_k$  عند الفترات الزمنية  $t = T_k, T_{k+1}, \dots, n$ .

#### الإجراء الثاني : Procedure 2

نمذجة التدخل الأول ويكون بالخطوات الآتية :

##### الخطوة الأولى : Step 1

بناء أنموذج لبيانات السلسلة الزمنية قبل التدخل الأول وليكن  $ARIMA(p,d,q)$  والذي يكتب بالصيغة الآتية:

$$Z_0 = \frac{\theta_q(B)}{\phi_p(B)(1-B)^d} a_t \quad \dots 15$$

يستخدم هذا الأنموذج لعمل التنبؤات للفترة من  $t = T_1, T_{1+1}, \dots, T_{1+n_1-1}$  أي قبل وقوع التدخل الأول ولتكن هذه التنبؤات

$$\hat{Z}_{T_1}, \hat{Z}_{T_{1+1}}, \dots, \hat{Z}_{T_{1+n_1-1}}$$

##### الخطوة الثانية: Step2:

في هذه الخطوة يتم حساب قيم الاستجابة للتدخل الأول أي  $y_t$  والتي تمثل البواقي والتي هي الفرق بين البيانات عند  $t = T_1, T_{1+1}, \dots, T_{2-1}$  والتنبؤات المستخرجة من أنموذج  $ARIMA$  في الخطوة الأولى. ان هذه الخطوة تنتج قيم الاستجابة للتدخل الأول وهي :

$$Y_{T_1}, Y_{T_{1+1}}, \dots, Y_{T_{2-1}}$$

ولتحديد درجة  $r_1, s_1, b_1$  لأنموذج مركبة التدخل الأول يتم رسم البواقي مع تثبيت مجال الثقة Confidence Intervals والتي هي  $\pm 3\hat{\sigma}_{a_0}$ ، إذ إن  $\hat{\sigma}_{a_0}$  : تمثل الجذر الى متوسط مربعات الخطأ لأنموذج  $ARIMA$  ويرمز له بالرمز (Root Mean Square Error) RMSE. هذا المجال يشبه المجال المستخدم لتحديد حدود مخطط السيطرة النوعية للمشاهدات الشاذة.

او يمكن تشخيص المركبة الديناميكية للتدخل الاول بالاعتماد على الأدلة المتوافرة إذ يتم فحص البيانات إلى اقتراح بعض الطرق التي تفسر كيفية تأثير التدخل على نمط البيانات وبالتالي يمكن تحديد سلسلة الإدخال ودالة التحويل.

##### الخطوة الثالثة : Step 3

في هذه الخطوة يتم تقدير معلمات الأنموذج الآتي :

$$Z_t = \frac{\omega_{s1}(B)B^{b1}}{\delta_{r1}(B)} I_{1t} + \frac{\theta_q(B)}{\phi_p(B)(1-B)^d} a_t \dots 16$$

كما تختبر معنوية المعلمات وبعدها يتم تدقيق التشخيص لاختبار افتراض البواقي على أنها متغيرات عشوائية غير مترابطة (White Noise) لذا تستخرج معاملات الارتباط الذاتي للبواقي وتحسب احصاءة  $Q^*$  (11) المعرفة بالشكل الآتي:

$$Q^* = n(n+2) \sum_{k=1}^m (n-K)^{-1} \gamma_k^2(\hat{a}) \sim \chi^2_{(m-h)}, m=\sqrt{n} \dots 17$$

اذ أن  $m$  : هو اعلى عدد ارتداد زمني. او ازاحة زمنية  $h$  : هي عدد المعلمات المقدره وتقرن مع قيمة  $X^2$  (مربع كاي ) المجدولة بمستوى معنوية معينة ودرجة حرية  $(m-h)$

### الإجراء الثالث : Procedure 3

نمذجة التدخل  $m$  ، اذ  $m=2,3,\dots,k$  ويكون بالخطوات الآتية :

#### الخطوة الأولى : Step 1

يتم حساب التنبؤات المستقبلية للفترة  $T_m$  ولغاية  $T_{m+n_m-1}$  باستخدام أنموذج التدخل الذي يحوي  $(m-1)$  والتي هي :

$$\hat{Z}_{T_m}, \hat{Z}_{T_{m+1}} \dots \hat{Z}_{T_{m+n_m-1}}$$

#### الخطوة الثانية : Step 2

تحسب قيم الاستجابة للتدخل  $m$  والتي هي البواقي (الفرق بين القيم الحقيقية من رسم البواقي قيم الاستجابة مع مجال الثقة  $Confidence Interval$  اذ أن  $\hat{\sigma}_{am-1}, \mp 3\hat{\sigma}_{am-1}$  الجذر التربيعي لمتوسط مربعات الخطأ لأنموذج التدخل الذي يحوي على  $(m-1)$  من التدخلات وهي :

$$Y_{T_m}, Y_{T_{m+1}}, \dots, Y_{T_{m+n_m-1}}$$

ولتحديد درجة  $r_m, s_m, b_m$  لأنموذج مركبة التدخل  $m$  من رسم البواقي قيم الاستجابة مع مجال الثقة  $Confidence Interval$  اذ أن  $\hat{\sigma}_{am-1}, \mp 3\hat{\sigma}_{am-1}$  الجذر التربيعي لمتوسط مربعات الخطأ لأنموذج التدخل الذي يحوي على  $(m-1)$  من التدخلات .

#### الخطوة الثالثة : Step 3

تقدر معالم أنموذج التدخل الذي يحوي على  $m$  من التدخلات الذي يعرف بالشكل الآتي:

$$Z_t = \sum_{j=1}^m \frac{\omega_{sj}(B)B^{bj}}{\delta_{rj}(B)} I_{j,t} + \frac{\theta_q(B)}{\phi_p(B)(1-B)^d} a_t \dots 18$$

وتختبر معنويتها ثم تدقق صحة الأنموذج من خلال اختبار البواقي للأنموذج لتأكيد الافتراض من أن البواقي ما هي الا متغيرات عشوائية غير مترابطة (White Noise). هذا الإجراء يكرر حتى نصل الى التدخل  $(k)$  وبالتالي فان أنموذج التدخل الذي يحوي على  $k$  من التدخلات سيكون

$$Z_t = \sum_{j=1}^k \frac{\omega_{sj}(B)B^{bj}}{\delta_{rj}(B)} I_{j,t} + \frac{\theta_q(B)}{\phi_p(B)(1-B)^d} a_t \dots 19$$

### تقدير معالم الأنموذج The estimation of The parameters in The Model

تقدر معالم أنموذج التدخل الذي يحوي على  $k$  من التدخلات بطريقة الإمكان الأعظم<sup>(4)</sup> اذ استطاع Box & Tiao عام 1975 من تقدير معالم أنموذج السلسلة الزمنية (أنموذج التدخل ) الذي يحوي على  $k$  من التدخلات . اذ تمكنا من كتابة أنموذج التدخل بالشكل الآتي :

$$W_t = (1-B)^d(1-B^s)^D(Z_t - \sum_{j=1}^k \frac{\omega_{sj}(B)B^{bj}}{\delta_{rj}(B)} I_{j,t} ) \dots 20$$

اذ أن

$$W_t = \frac{\theta_q(B)\theta_Q(B^s)a_t}{\phi_p(B)\Phi_P(B^s)} \dots 21$$

كما تمكنا من ايجاد الانحرافات المعيارية للمعلمات المقدره ولمزيد من التفاصيل الرجوع الى المصدر<sup>(4)</sup> للاطلاع على كافة الاشتقاقات .

#### مرحلة تدقيق التشخيص

بعد ان تم تقدير معالم أنموذج التدخل واختبار معنوياتها تاتي مرحلة تدقيق تشخيص أنموذج التدخل الكلي بالاعتماد على البواقي والتي ينبغي ان تسلك سلوك التذبذب العشوائي بحساب احصاءة  $Q^*$  المذكورة سابقا وتقرن مع القيم المجدولة .

#### التنبؤ

يمكن استخدام أنموذج التدخل الكلي لحساب التنبؤات المستقبلية للسلسلة الزمنية ، ونود ان نشير الى ان عملية التنبؤ تعتمد فقط على مركبة التذبذب والمركبة الديناميكية للتدخل الاخير ، بافتراض ان تاثير التدخل الاخير لا زال مصاحبا للسلسلة الزمنية في حين تنعدم التدخلات الاخرى .

## الجانب التطبيقي

تحليل التدخل لبيانات إنتاج النفط الخام العراقي ذات التدخلات المتعددة.\*\*

سيتم التطبيق لبيانات واقعية تمثل إنتاج النفط الخام في العراق من الفترة الزمنية 1969/1 ولغاية 2004/1<sup>(2)</sup> بحجم 421 مشاهدة. إذ تعرضت هذه السلسلة إلى ثلاثة تدخلات وهي :

**التدخل الأول (First Intervention):**

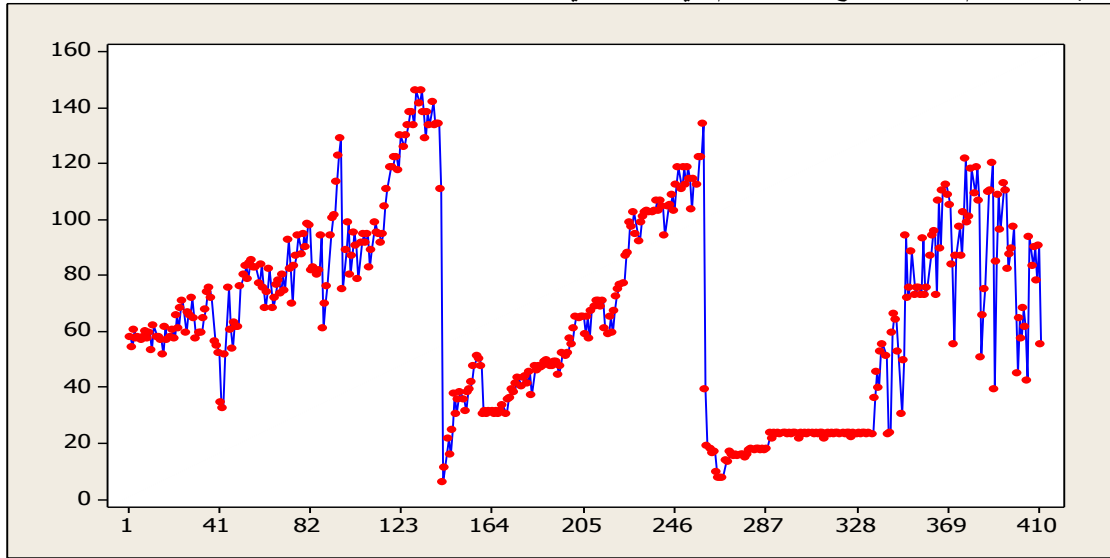
يمثل نشوب الحرب العراقية - الإيرانية في 1980/9/4 إذ أثرت هذه الحرب على إنتاج النفط في العراق.

**التدخل الثاني (Second Intervention):**

يمثل دخول الجيش العراقي الأراضي الكويتية في 1990/8/2 والحرب التي شنها الثلاثون دولة على العراق في 1991/1/17 بسبب ضم الأراضي الكويتية لدولة العراق واعتبارها المحافظة (19) وفرض الحصار الاقتصادي على قطرنا العزيز.

**أما التدخل الثالث (Third Intervention) :**

الحرب التي شنتها أمريكا مع بعض الدول \*\* (بريطانيا ، إيطاليا ، اليابان ، الدنمارك وغيرها ) على العراق في 2003/3/21 بحجة امتلاك العراق لأسلحة الدمار الشامل وإن آثار هذه التدخلات واضحة في الشكل (4) الذي يمثل رسم بيانات إنتاج النفط الخام في العراق في المدة المدروسة .



الشكل (4)

يمثل بيانات إنتاج النفط الخام في العراق من الفترة 1969/1 ولغاية 2004/1.

لذا تم تقسيم بيانات السلسلة الزمنية حسب منهجية Muhammad وآخرون التي تم شرحها في الجانب النظري إلى أربعة أجزاء:

الجزء الأول: يمثل الإنتاج للفترة الزمنية من 1969/1 ولغاية 1980/8 وهي بيانات الخالية من التدخل وبحجم 140 مشاهدة.

الجزء الثاني: يمثل الإنتاج للفترة من 1980/9 (بداية التدخل الأول) ولغاية 1990/7 (قبل بداية التدخل الثاني) بحجم 119 مشاهدة.

الجزء الثالث: يمثل الإنتاج للفترة الزمنية 1990/8 (بداية التدخل الثاني) ولغاية 2003/2 (قبل بداية التدخل الثالث) بحجم 151 مشاهدة.

الجزء الرابع: يمثل الإنتاج من الفترة 2003/3 ولغاية 2004/1 بحجم 11 مشاهدة .

أولاً : بناء نموذج السلسلة الزمنية قبل التدخلات

تم بناء نموذج مركبة التذبذب بالاعتماد على منهجية بوكس- جنكز إذ كان  $ARIMA(1, 0, 0)(1, 1, 0)$ <sup>(3)</sup> وقد قدرت معلماته فكانت معادلته التقديرية هي:

$$\ln Z_t = \frac{a_t}{(1-B^{12})(1-0.778B)(1+0.41136B^{12})}$$

\*\* الرسوم والحسابات تمت باستخدام برنامجي Statistica 8 وMintab16 على التوالي



وكانت  $\varphi_1$  ،  $\varnothing_{12}$  معنوية حسب اختبار  $t$  البالغة 13.84 ، (-5.04) على التوالي إذ بلغت قيمة 0.000  $P=$  لكلا المعلمتين وقد حققنا شرط الاستقرارية وبمتوسط مربعات الخطأ  $MES=0.01913$ .

### ثانياً: تشخيص المركبة الديناميكية للتدخل الأول

لتشخيص أنموذج المركبة الديناميكية للتدخل الأول سيكون من خلال ملاحظة الشكل (4) الذي يمثل رسم السلسلة الزمنية نجد أن التدخل (الحرب العراقية – الإيرانية) قد وقع في الشهر التاسع من عام 1980 لكن الإنتاج في هذا الشهر البالغ 110.79 لم يتأثر بل تأثر الإنتاج في الشهر العاشر من عام 1980 فقد بلغ 5.92 مليون برميل وان الحرب قد استمرت لذا فإن سلسلة التدخل هي دالة الخطوة ومن هنا نستطيع أن نشخص الأنموذج الذي هو :

$$Y_t = \frac{\omega_0}{1 - \delta_1 B} B S_t^{(141)}$$

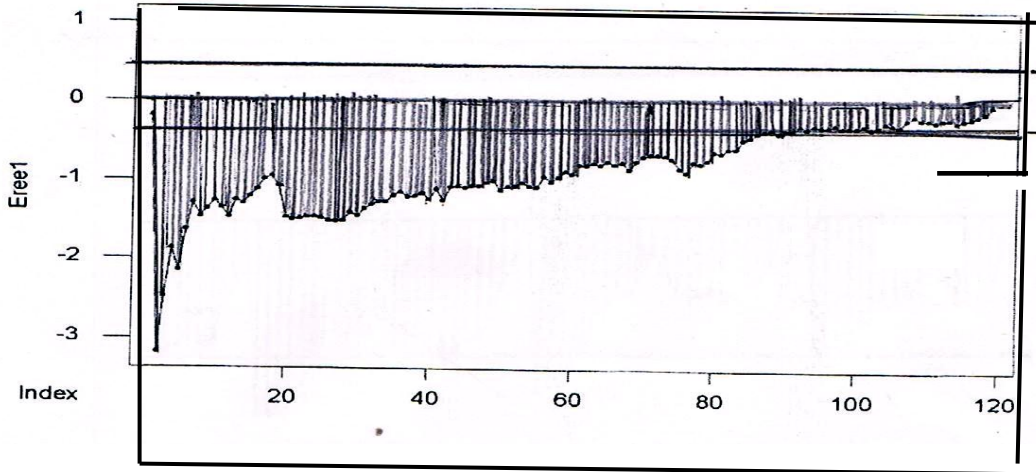
إذ أن  $S_t^{(141)} = 1$  عند وقوع التدخل واستمراره و 0 قبل وقوع التدخل

او يمكن تشخيص هذه المركبة الديناميكية وذلك بحساب التنبؤات المستقبلية لـ  $t = 141$  ولغاية 259 باستخدام الأنموذج  $ARIMA(1, 0, 0)(1, 1, 0)_{12}$  (3) المقدرو حساب البواقي إذ أن

$$\hat{e}_t = Z_t - \hat{Z}_t \quad t=141, 142, \dots$$

ولقد تم رسم هذه البواقي وحسبت قيمة الحدين  $\pm 3\sqrt{\hat{\sigma}_{at}^2}$  التي تساوي  $\pm 0.414$

وتم تعيينهما في الرسم كما في الشكل (5) .



الشكل (5)

يمثل رسم البواقي الأولى والحدين  $\pm 3\sqrt{\hat{\sigma}_{at}^2}$

ومن خلال الرسم نجد أن الخطأ الأول للمشاهدة 141 واقع ضمن الحدين وعليه فإن قيمة  $b=1$ . أي أن السلسلة الزمنية قد تأثرت بالحدث بعد وقوعه بفترة زمنية واحدة أي عند  $T_1+1=142$  وهذا يتفق مع الواقع إذ أن الحرب بدأت في الشهر التاسع من عام 1980 ويمكن أن نستنتج أن متغير التدخل هو من نوع المستمر والأنموذج من الدرجة الأولى إذ أن  $r=1, S=0$  وذلك لان الحرب قد وقعت في 1980/9/4 ولكن إنتاج النفط لم يتأثر بهذا الشهر لكنه تأثر بشهر تشرين الأول إذ انخفض الإنتاج بشكل كبير إذ بلغ 5.92 مليون برميل وان هذه الحرب قد استمرت لـ 8 سنوات تقريبا . لذا فإن الأنموذج الذي يصف مركبة تأثير التدخل هو متدرج دائمي والذي تكتب معادلته بالشكل الآتي :

$$Y_t = \frac{\omega_{01}}{1 - \delta_1 B} B S_t^{(141)}$$

إذ أن

$$S_t^{(T)} = \begin{cases} 1 & T \geq 141 \\ 0 & T < 141 \end{cases}$$

وعندئذ يصبح نموذج التدخل الذي يحوي على تدخل واحد بالشكل الآتي:

$$\ln Z_t = \frac{\omega_0}{1-\delta_1 B} B S_t^{(141)} + \frac{a_t}{(1-B^{12})(1-\phi B)(1-\phi_{12}B^{12})}$$

وقد تم تقدير معاملات النموذج وحساب الانحرافات المعيارية للمعالم المقدرة. وإجراء اختبار  $t$  وكما في الجدول أدناه .

Input: VAR4 (خطيا سنويا) (sta)									
Transformations: ln(x),D(12) (Interrupted ARIMA)									
Model:(1,0,0)(1,1,0) Seasonal lag: 12 MS Residual= .02226									
Paramet.	Param.	Asympt. Std.Err.	Asympt. t( 220)	p	Lower 95%	Upper 95%	Interv. Case No.	Interv. Type	Asympt. Change
p(1)	0.92407	0.028117	32.8655	0.000000	0.86866	0.97948			
Ps(1)	-0.45574	0.061092	-7.4600	0.000000	-0.57614	-0.33534			
Omega(1)	-2.94343	0.129626	-22.7071	0.000000	-3.19890	-2.68796	142	Grd/Perm	
Delta(1)	-0.15902	0.033428	-4.7572	0.000004	-0.22491	-0.09314	142	Grd/Perm	

جدول (1)

يبين تقدير واختبار معاملات نموذج التدخل

ومن خلال الجدول نجد :-

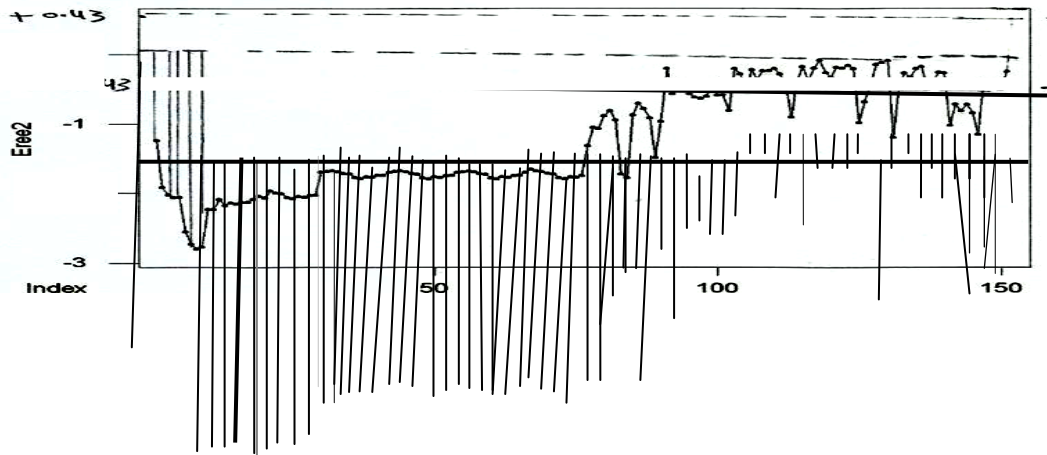
- 1- أن المعالم المقدرة معنوية إحصائياً من خلال اختبار  $t$  إذ بلغت قيمة  $p=0.000$  لكل المعالم وهذا ما يؤكد حدود الثقة المستخرجة باحتمال ثقة 95%.
- 2- أن المعلمتين  $\phi_{12}$ ,  $\phi_1$  قد حققت شرط الاستقرار إذ  $\phi_{12}$ ,  $\phi_1$  كلاهما أقل من الواحد في حين  $|\delta|$  قد حققت شرط الاستقرار.
- 3- أن إشارة المعلمة  $\omega_0$  سالبة وهذا يدل على أن نشوب الحرب بين العراق وإيران أدت إلى انخفاض الإنتاج .
- 4- أن متوسط مربعات الأخطاء هي 0.02226 وعليه فإن نموذج التدخل المقدر سيكون

$$\ln Z_t = \frac{-2.94343}{(1 + 0.15902B)} B S_t^{(141)} + \frac{a_t}{(1 - B^{12})(1 - 0.92407B)(1 + 0.45574B^{12})}$$

وقد تم اختبار النموذج بحساب قيمة  $Q^*$  .

### ثالثاً: تشخيص المركبة الديناميكية للتدخل الثاني

لقد تم استخدام نموذج التدخل السابق لحساب التنبؤات المستقبلية من الفترة  $t=260$  ولغاية 410 ثم استخرجت البواقي لهذه الفترة وتم حساب الحدين  $\pm 3\sqrt{\hat{\sigma}_{at}^2}$  وكانت تساوي 0.4305  $\mp$  وقد تم رسم البواقي وتثبيت هذين الحدين كما في الشكل (6).



الشكل (6)

يمثل رسم البواقي الثانية والحدين  $\pm 3\sqrt{\hat{\sigma}_{at}^2}$

ومن خلال الشكل نجد أن الخطأ للملاحظة 260 خارج الحدين مما يدل على أن  $b=0$ . وعليه فإن السلسلة قد تأثرت عند وقوع الحدث ( $T_2=260$ ) وأن متغير التدخل من النوع المستمر  $S_t^{(T_2)}$ ،  $r=0$ ،  $S=0$ ، وعليه فإن نموذج التدخل هو مفاجئ دائم إذ انخفض الإنتاج بشكل مفاجئ ليصبح 39.4 مليون برميل عند  $t=260$ . أي عند الشهر 8/1990 بعد أن كان الإنتاج 134.22 مليون برميل عند  $t=259$ . أي في الشهر 7/1990 وعليه فإن متغير التدخل هو

$$S_t^{(T_2)} = \begin{cases} 1 & t \geq 260 \\ 0 & t < 260 \end{cases}$$

كما أن نموذج التدخل والذي يشمل التدخلين الأول والثاني سيكون بالشكل الآتي:

$$\ln Z_t = \frac{\omega_{01}}{1-\delta_1 B} B S_t^{(141)} + \omega_{02} S_t^{(260)} + \frac{a_t}{(1-B^{12})(1-\phi B)(1-\phi_{12} B^{12})}$$

وقد تم تقدير معاملات النموذج وحدود الثقة للمعاملات واستخرجت الانحرافات المعيارية وقيمة المختبر  $t$  كما في الجدول الآتي:

Input: VAR6 (Spreadsheet1.sta) Transformations: ln(x),D(12) (Interrupted ARIMA) Model:(1,0,0)(1,1,0) Seasonal lag: 12 MS Residual= .04738									
Paramet.	Param.	Asympt. Std.Err.	Asympt. t ( 404)	p	Lower 95%	Upper 95%	Interv. Case No.	Interv. Type	Asympt. Change
p(1)	0.86388	0.028184	30.6515	0.000000	0.80848	0.91929			
Ps(1)	-0.40026	0.050426	-7.9376	0.000000	-0.49939	-0.30113			
Omega(1)	-2.84253	0.184369	-15.4176	0.000000	-3.20497	-2.48009	142	Grd/Perm	
Delta(1)	-0.17899	0.048669	-3.6780	0.000267	-0.27466	-0.08332	142	Grd/Perm	
Omega(2)	-1.35630	0.180894	-7.4977	0.000000	-1.71191	-1.00069	260	Abr/Perm	

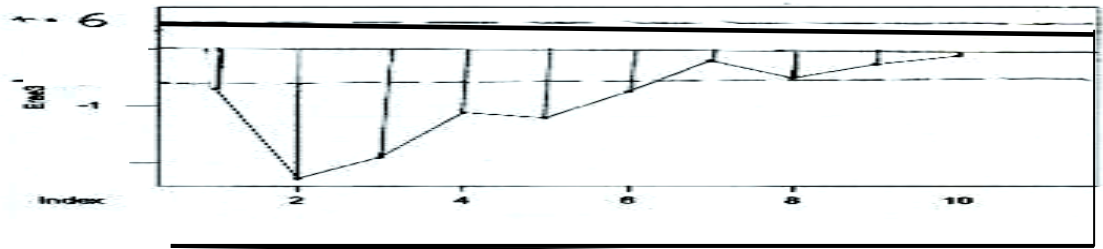
جدول (2) يمثل معاملات نموذج التدخل ( الأول والثاني) وحدود الثقة والانحرافات المعيارية واختبار  $t$ . ومن خلال الجدول نجد :-

- 1- أن جميع المعالم المقدرة هي معنوية إحصائياً من خلال اختبار  $t$  إذ بلغت قيمة  $p = 0.000$  وهذا ما تؤكد حدود الثقة المستخرجة باحتمال ثقة 95% والتي تخلو من الصفر .
- 2- أن المعلمتين  $\phi_{12}, \phi_1$  قد حققت شرط الاستقرار في حين  $|\delta|$  قد حققت شرط الاستقرار إذ أن  $|\delta|$  أقل من الواحد.
- 3- بقيت إشارة المعلمة  $\omega_{01}$  سالبة مما يدل على أن التدخل الأول ( الحرب العراقية - الإيرانية) أدى إلى انخفاض الإنتاج .
- 4- أن إشارة المعلمة  $\omega_{02}$  سالبة مما يدل على أن الإنتاج قد انخفض عند التدخل الثاني.
- 5- بقيت المعالم  $\phi_1, \phi_{12}, \delta_1$  محافظة على الإشارة الخاصة بها وإن اختلفت قيمها بعض الشيء.
- 6- أن متوسط مربعات الأخطاء هي 0.04738 عندئذ يصبح نموذج التدخل المقدر بالشكل :-

$$\ln Z_t = \frac{-2.84253}{1 + 0.17899B} B S_t^{(141)} - 1.35630 S_t^{(260)} + \frac{a_t}{(1 - B^{12})(1 - 0.86388B)(1 + 0.40026B^{12})}$$

وقد تم اختبار هذا النموذج بحساب قيمة  $Q^*$

رابعا : تشخيص المركبة الديناميكية للتدخل الثالث لقد تم استخدام نموذج التدخل المقدر للتدخلين الأول والثاني المبين بالمعادلة السابقة لحساب التنبؤات المستقبلية لـ  $t = 411$  ولغاية 421 وبعدها استخرجت البواقي وتم رسمها واستخرجت فيه الحدين وكانت تساوي  $\mp 0.60262$  كما في الشكل (7).



الشكل (7)

رسم لبواقي الثالثة مع الحدين  $\mp 3 \sqrt{\hat{\sigma}_{at}^2}$

وبما أن الخطأ عند المشاهدات 411 خارج الحد  $3 \sqrt{\hat{\sigma}_{at}^2} -$  فإن قيمة  $b = 0$ . أي أن السلسلة الزمنية

قد تأثرت بالتدخل عند وقوعه  $T_3 = 411$  وإن متغير التدخل من النوع المستمر  $S_t^{(T_3)}$  وأن نموذج الذي يمثل هذه المركبة الديناميكية هو من الدرجة الأولى أي أن  $S=0, r=1$ . وعليه فإن نموذج التدخل الذي يضم التدخلات الثلاث يكون في الصيغة الآتية:

$$\text{Ln}Z_t = \frac{\omega_{01}}{1-\delta_{11}B} B S_t^{(141)} + \omega_{02} S_t^{(260)} + \frac{\omega_{03}}{1-\delta_{13}B} S_t^{(411)} + \frac{a_t}{(1-B^{12})(1-\phi B)(1-\phi_{12}B^{12})}$$
 وقد تم تقدير معاملات نموذج التدخل النهائي الذي يضم ثلاثة تدخلات واستخرجت حدود الثقة والانحرافات المعيارية وقيمة المختبر  $t$  كما في الجدول الآتي :

Input: VAR6 (Spreadsheet1.sta) Transformations: In(x),D(12) (Interrupted ARIMA) Model:(1,0,0)(1,1,0) Seasonal lag: 12 MS Residual= .04545									
Paramet.	Param.	Asympt. Std.Err.	Asympt. t ( 402)	p	Lower 95%	Upper 95%	Interv. Case No.	Interv. Type	Asympt. Change
p(1)	0.87327	0.03042	28.7026	0.00000	0.81346	0.93308			
Ps(1)	-0.42342	0.04968	-8.5224	0.00000	-0.52109	-0.32575			
Omega(1)	-2.85758	0.18299	-15.6157	0.00000	-3.21732	-2.49783	142	Grd/Perm	
Delta(1)	-0.17600	0.04793	-3.6716	0.00027	-0.27024	-0.08177	142	Grd/Perm	
Omega(2)	-1.34164	0.17936	-7.4798	0.00000	-1.69426	-0.98902	260	Abr/Perm	
Omega(3)	-0.72141	0.18386	-3.9237	0.00010	-1.08286	-0.35996	411	Grd/Perm	
Delta(3)	0.37130	0.10486	3.5409	0.00044	0.16516	0.57745	411	Grd/Perm	-1.14747

جدول (3) يمثل تقدير معاملات نموذج التدخل الكلي وحدود الثقة والانحرافات المعيارية وقيمة المختبر  $t$ . ومن خلال الجدول نجد :-

- 1- أن جميع المعالم المقدرة لأنموذج التدخل الكلي هي معنوية إحصائياً من خلال اختبار  $t$  إذ بلغت قيمة  $p=0.000$  وهذا ما تؤكد حدود الثقة المستخرجة باحتمال ثقة 95% والتي تخلو من الصفر.
- 2- أن المعلمتين  $\phi_{12}, \phi_1$  قد حققت شرط الاستقرارية في حين  $\delta_{13}, \delta_{11}$  قد حققتا شرط الاستقرار .
- 3- أن إشارة المعلمة  $\omega_{03}$  سالبة مما يدل على أن الإنتاج قد انخفض عند التدخل الثالث (الحرب التي شنتها أمريكا وأعوانها على العراق بتاريخ 2003/3/21) .
- 4- بقيت المعالم  $\phi_1, \phi_{12}, \omega_{01}, \omega_{02}, \delta_{11}$  المقدرة محافظة على الإشارة الخاصة بها وإن القيم الخاصة بهم لم تتغير بشكل كبير.
- 5- أن متوسط مربعات الأخطاء هي 0.04545. عندئذ يصبح نموذج التدخل الكلي المقدر بالشكل الآتي:  
وقد تم اختبار انموذج التدخل بحساب قيمة  $Q$ . فكان ملائم للبيانات .  
وقد تم استخدام هذا الأنموذج لحساب التنبؤات المستقبلية من الفترة 2004/2 ولغاية 2005/1 مع حدود الثقة باعتبار أن التدخل الثالث مصاحب للسلسلة الزمنية كما في الجدول (4)

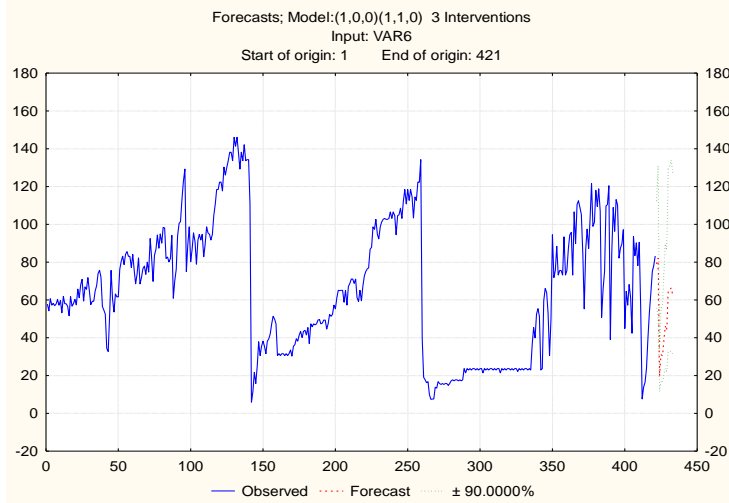
Forecasts; Model:(1,0,0)(1,1,0) 3 Interventions (fata-intervention.sta) Input: VAR4 Start of origin: 1 End of origin: 421			
CaseNo.	Forecast	Lower 90.0000%	Upper 90.0000%
422	78.67680	55.03508	112.4735
423	80.85437	50.41232	129.6788
424	19.05972	11.07708	32.7950
425	30.01891	16.64385	54.1422
426	29.63006	15.89697	55.2269
427	36.93425	19.35593	70.4765
428	45.16192	23.26866	87.6543
429	43.47229	22.12140	85.4304
430	63.84371	32.19192	126.6162
431	64.45728	32.28247	128.6996
432	65.72739	32.75418	131.8943
433	62.33025	30.94598	125.5433

جدول (4) يمثل التنبؤات المستقبلية للإنتاج للفترة 2004/2 ولغاية 2005/1 مع حدود الثقة . في حين كانت القيم الفعلية للإنتاج في جدول (5) .

جدول (5)  
يمثل القيم الحقيقية للإنتاج 2004/2 ولغاية 2005/1

433	432	431	430	429	428	427	426	425	424	423	422	المشاهدة
69.44	80.69	70.67	86.28	87.67	76.74	83.21	69.6	71.88	95.5	98.02	69.28	القيم الفعلية

وقد تم رسم القيم الفعلية للسلسلة الزمنية والتنبؤات كما في الشكل (8)



الشكل (8)

يمثل القيم المشاهدة لسلسلة الإنتاج مع التنبؤات المستقبلية وحدود الثقة .

وعند ملاحظة القيم المستقبلية ومقارنتها مع القيم الفعلية وجدت أن الأخطاء ليست صغيرة .

### الاستنتاجات

- 1- إن قيمة  $w_0$  في نموذج التدخل المفاجئ الدائم تشير إلى مقدار التغير الذي حصل للسلسلة الزمنية عند تعرضها للحدث الخارجي.
- 2- يمكن معرفة وقت وقوع الحدث ( التدخل) من خلال الرسم والادلة المتوفرة وبالتالي يمكن وضع نموذج المركبة الديناميكية
- 3- إشارة المعلمة المقدره  $w_{01}$  سالبة في نموذج التدخل الذي يشمل التدخل الاول المتمثل بتأثير الحرب العراقية - الإيرانية قد أدى إلى انخفاض الإنتاج.
- 4- إشارة المعلمة  $w_{02}$  المقدره سالبة في نموذج التدخل الذي يشمل التدخلين الاول والثاني مما يدل ان التدخل الثاني (دخول الجيش العراقي الاراضي الكويتية في 2-8-1990 والحرب التي شنتها الثلاثين دولة على العراق وفرض الحصار الاقتصادي عليه) قد أدى الى انخفاض الانتاج كما بقيت المعلمة  $w_{01}$  المقدره سالبة
- 5- أنموذج التدخل لتمثيل بيانات إنتاج النفط الخام من 1969/1 ولغاية 2004/1 (متعدد التدخلات) المقدر هو :

$$\ln Z_t = \frac{-2.85758}{(1+0.17600B)} B S_t^{(141)} - 1.34164 S_t^{(260)} - \frac{0.72141}{(1-0.37130)} S_t^{(411)} + \frac{a_t}{(1-B^{12})(1-0.87327B)(1+0.42342B^{12})}$$

- 6- ان إشارة المعلمات المقدره  $w_{01}$ ،  $w_{02}$ ،  $w_{03}$  سالبة في أنموذج التدخل ذات التدخلات المتعددة والمتمثلة بالأحداث (وقوع الحرب العراقية الإيرانية - دخول الجيش العراقي الاراضي الكويتية والحرب التي شنتها الثلاثون دولة على العراق والحصار المفروض على العراق فضلا عن ذلك الاحتلال الأمريكي) مما يشير إلى انخفاض الإنتاج خلال هذه الأحداث فضلا عن ذلك إن هذه المعلمات ذات معنوية إحصائية
- 7- ان القيم التنبؤية المستخرجة باستخدام أنموذج التدخل ذات الأحداث المتعددة كانت بعيدة بعض الشيء عن القيم الحقيقية عند المقارنة بينهما والسبب هو ان التدخل الأخير لازال مصاحب للسلسلة الزمنية مما يؤثر على قيمها المستقبلية وعليه يمكن اعتبار أسلوب تحليل التدخل أداة جيدة في بيان تأثير الأحداث فقط وليس لحساب التنبؤات المستقبلية للسلسلة الزمنية.

## التوصيات

- 1- إجراء دراسة لتحليل التدخل للسلسلة الزمنية في حالة وجود قيم مفقودة (Missing Data).
- 2- إجراء دراسة لتحليل التدخل لأنموذج السلسلة الزمنية المعرف بالشكل الآتي:  

$$Y_t = \mu + S_t + \epsilon_t + \omega_t$$
- 3- إجراء دراسة لأنموذج التدخل مع دالة التحويل (Transfer function)  

$$Y_t = \frac{\omega(B)}{\delta(B)} B^b I_t + \frac{\omega(B)}{\delta(B)} B^b X_t + N_t$$
- 4- إجراء دراسة لتحليل السلسلة الزمنية المتعرضة للأحداث الخارجية والتي تتبع ARCH و GRCH.
- 5- استخدام تحليل التدخل في السلاسل الزمنية متعددة المتغيرات (Multivariate Time Series).
- 6- إجراء دراسة تحليل التدخل للسلاسل الزمنية غير مستقرة وعند أخذ الفروق الكسرية (fractional difference)

## المصادر

- 1- والتر فاندال " السلاسل الزمنية من الواجهة التطبيقية ونماذج بوكس-جنكنز " ترجمة ومراجعة د. عبد المرضي حامد عزام ود. احمد حسين هارون ، دار المريخ للنشر . المملكة العربية السعودية ، 1992 .
- 2- الجهاز المركزي للإحصاء ، وزارة التخطيط ، بيانات انتاج النفط الخام في العراق للفترة من 1969-2004 .
- 3- Box, G. E. P., Jenkins, G. M. & Reinsel, G. C. (1994), " Time Series Analysis: Forecasting and Control", 3rd ed. New Jersey: Prentice-Hall.
- 4- Box, G.E.P. and Tiao, G.C. (1975), " Intervention Analysis with Applications to Economic and Environmental Problems", Journal of the American Statistical Association, Vol.70, p.p. 70-79.
- 5- Hipel, K. W., and McLeod, A. I. (1994), "Time Series Modelling of Water Resources and Environmental Systems", Amsterdam: Elsevier.
- 6- Jeffrey E Jarrett, Ph.D. and Eric Kyper, Ph.D. (2011), " ARIMA Modeling With Intervention to Forecast and Analyze Chinese Stock Prices", Vol. 3, No. 3, p.p. 53-58
- 7- Maria, E.C. and others "Transfer Function and Intervention Models for The Study of Brazilian Inflationary Process" AJBM , V.4 , pp578-582, 2010 .
- 8- Montgomery, D.C. and Weather by, G. (1980), " Modeling and forecast time series using transfer function and intervention methods", AIIE Transactions, PP. 289-307.
- 9- Muhammad Hisyam Lee, Suhartono And Bahrom Sanugi (2010), "Multi Input Intervention Model For Evaluating The Impact Of The Asian Crisis And Terrorist Attacks On Tourist Arrivals", Matematika, Vol. 26, No. 1, P.P.83-106.
- 10- Shao, Y.E. (1997). "Multiple Intervention Analysis with Application to Sales Promotion Data". Journal of Applied Statistics, Vol. 24(2), 181-91.
- 11- Wei, W. S. (1991). Time Series Analysis - Univariate and Multivariate Methods. New York: Addison-Wesley.